

〈研究論文(學術)〉

液晶性 Polyurethane의 合成과 物性에 關한 研究

이종백 · 송진철* · 최대웅**

동경대학공학부화학생명공학과
*부산대학교 공과대학 섬유공학과
**동의대학교 공과대학 화학공학과
(1996년 1월 15일 접수)

Synthesis and Physical Properties of Liquid-Crystalline Polyurethanes

Jong Back Lee, Jin Cherl Song* and Dae Woong Choi**

Institute of Industrial Science, Univ. of Tokyo, Roppongi, Minato-Ku, Tokyo, Japan

*Dept. of Textile Eng., College of Eng., Pusan National Univ., Pusan, Korea

**Dept. of Chemical Eng., College of Eng., Dongeui Univ., Pusan, Korea

(Received January 15, 1996)

Abstract—A number of thermotropic liquid crystalline polyurethanes with mesogenic unit were synthesized by polyaddition of a para-type diisocyanate such as 1, 4-phenylene diisocyanate(1, 4-PDI) with 4, 4'-bis(ω -hydr oxyalkoxy) biphenyls(BP_m) in DMF. The thermal and liquid crystalline properties were examined by differential scanning calorimetry(DSC), polarized optical microscopy, and wide-angle X-ray scattering(WAXS). Intrinsic viscosities of the polymers exhibited two endothermic peaks corresponding to phase transitions of melting and isotropization. For example, polyurethane(1, 4-PDI/BP₁₁) was found to display a liquid crystalline phase between 177 to 205°C. In order to know how the hydrogen bonding interaction affects the formation of mesophases in polyurethane 1, 4-PDI/BP₉, thermal processing FT-IR measurements were carried out. It was found that the stretches regarded as shift to higher frequency region with increasing temperature which showed gradually their liquid crystalline phase.

1. 序 論

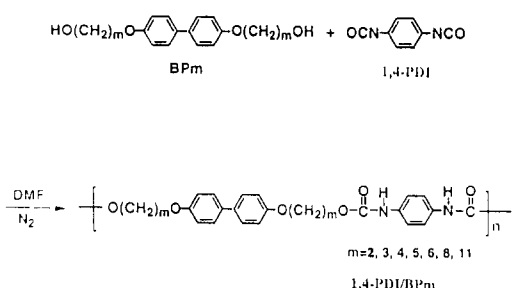
液晶高分子는 mesogen이라 불리는 rigid한 液晶部分과 flexible한 部分으로 形成되어 있으며, 高分子骨格의 結合様式에 따라 主鎖型, 側鎖型, 複合型으로 크게 나눌 수 있다¹⁻⁴⁾. 그 中에서도 特히 主鎖型의 液晶高分子는 Polymer의 高配向性이 高分子物質 중에 維持되므로 高強度 高彈性率을 維持하는 產業用材料로서 여러 分野에 利用되고 있다. 最近 polyamide의 液晶高分子에서 얻어진 纖維가 高強度 高彈性率을 나타내는 것이 發見된

후 主鎖型 液晶高分子는 많은 注目을 받으면서 研究가 활발히 展開되고 있는 實情이다⁵⁻⁶⁾. 特히 加工할 때 溶媒가 必要없는 thermotropic 高分子polyurethane에 關해서는 많은 報告가 되어있다. 그러나 水素結合性의 基를 가진 液晶 polyurethane에 關한 報告는 아직까지 그다지 많은 研究가 없는 실정이다⁷⁻²³⁾. 最近 Mormann에 의해 diad 또는 triad를 가진 para型 aromatic diisocyanate ester基를 가진 polyurethane의 液晶性에 關한 報告가 있었다⁷⁻⁹⁾. 이들은 ester기를 가진 diisocyanate에 여러가지 置換基의 導入에 의한 液晶性의

熱的 性質의 變化에 關한 研究를 하였다. 또한 Mac-Knight는 4, 4'-bis(6-hydroxylgexoxy)biphenyl과 2, 4-, 또는 2, 6-tolylene diisocyanate와의 重附加反應에서 生成된 polyurethane의 液晶性을 나타내었다는 研究를 報告하였다^{10~17)}.

이들은 Mesogen部分으로 biphenyl基를 갖고 있는 diol을 사용하였다. 또한 isocyanate基가 benzen環의 meta位에 있는 對稱型 2, 6-tolylene diisocyanate와 非對稱型인 2, 4-tolylene diisocyanate를 乾燥한 DMF 중에서 反應시켜 液晶 polyurethane을 合成하였다. 특히 置換基의 位置에 따라 polymer의 構造의 變化와 热的 性質과 物理的 性質의 變化에 어떤 影響을 미치는가에 關하여 報告하였다¹⁵⁾.

그러나 置換基가 없는 para型의 diisocyanate에 關한 热的 性質 및 物理的 性質에 關한 研究는 지금까지 報告된 적이 없다. 前報에서는 mesogen部分으로 biphenyl基를 가지는 diol과 methyl置換基를 가지고 있는 2, 5-tolylene diisocyanate(2, 5-TDI)를 DMF中 反應시켜 生成된 Polyurethane의 液晶性 및 物性에 關해서 報告하였다^{19~22)}. 本研究에서는 置換基를 가지고 있지 않는 para型 1, 4-phenylene diisocyanate(1, 4-PDI)와 mesogen部分으로 biphenyl基를 가지는 diol(BP_m)과의 反應에서 얻어진 polyurethane의 液晶性에 關해서 檢討하였다. 特히 flexible spacer로서 8, 11을 가진 polymer의 热的 性質과 置換基에 의한 構造의 變化에 따른 物理的 變化에 關한 研究를 中心으로, 热的 性質 및 構造解析에 대해서, ¹H-NMR, DSC, 廣用X-線回折, 및 溫度可變FT-IR를 사용하여 比較検討하였다.



Schem 1. Synthesis of thermotropic polyurethanes(1, 4-PDI/BPm)

2. 實驗

2.1 Monomer의 合成과 重合

Monomer의 合成과 polymer重合은 Scheme 1에 나타내었다. Monomer와 polymer의 合成은 前報와 같은 實驗方法으로 合成하였다. Monomer 및 polymer의 構造解析은 ¹H-NMR(DMSO-d₆)과, FT-IR에 의해서 確認하였다.

2.2 FT-IR spectral

FT-IR의 測定은 Perkin Elmer 1600을 使用하였다. 溫度可變 FT-IR의 測定은 Mettler FP-84를 裝着한 日本分光 FT-IR2000에서 實施하였다.

2.3 ¹H-NMR

¹H-NMR은 日本電子JNM-GX270 spectrometer를 利用하여 室溫부터 130℃까지의 溫度範圍에서 測定하였다.

2.4 X-線 回折

X-線回折은 Rigaku X-ray Rad 2B hot stage附着(FP-800-FP82)를 使用하였다. X-線은 35KV 18mA에서 操作되어 nickel의 filter를 걸어서 Cu-K α ($\lambda=0.15''$)를 利用하였다.

2.5 相轉移 舉動 및 光學組織

Polymer의 相轉移舉動의 結晶과 光學組織의 觀察은 Metter FP-82HT Hot stage 附着 偏光顯微鏡OLYMPUS BH-2를 使用하였다.

2.6 示差走査熱量分析(DSC)

DSC測定用 sample은 8mg~10mg의 量을 杵量하여, 測定은 METTER DSC30을 利用하여, 窒素氣流下, 升溫은 20℃/min로 하였다.

2.7 溫度測定

粘度測定은 우베로데 粘度計를 使用 30℃恒溫槽

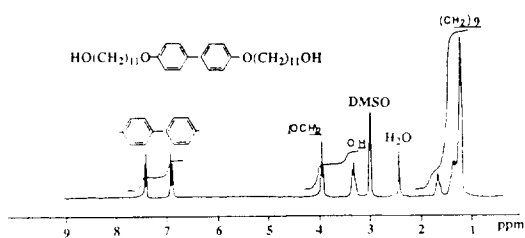


Fig. 1. $^1\text{H-NMR}$ spectrum of BP11 in DMSO-d_6 at 80°C .

에 1, 1, 2, 2-tetrachloroethane/phenol(1 : 1, v/v) 및 dichloromethane/trifluoroacetic acid(4 : 1, v/v)混合溶液을 溶媒로서 使用하였다. Polymer濃度 0.2g/dL의 溶液으로부터 濃度를 變化시켜, 固有粘度 $[\eta]$ 를 測定하였다.

3. 結果 및 考察

3.1 polyurethanes(1, 4-PDI/BP_m)의 熱的性質 및 物性

生成된 polyurethane은 1, 4-phenylene diisocyanate(1, 4-PDI)와 一連의 4, 4'-bis(ω -hydroxyalkoxy) biphenyls(BP_m)을 重附加反應에 의해 合成하였다. Polymer의 合成 및 條件을 Table 1에 나타내었다. 反應時間은 20時間부터 24時間, 乾燥

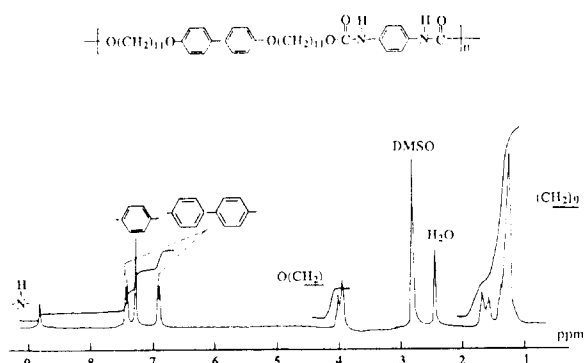


Fig. 2. $^1\text{H-NMR}$ spectrum of 1,4-PDI/BP11 in DMSO-d_6 at 130°C .

시킨 DMF 중에 80°C 에서 같은 mole로 反應시켰다. 收率은 90% 以上의 高收率이였으며 粘度는 dichloromethane-trifluoroacetic acid(4 : 1, v/v)의 混合溶液에서 30°C 에서 測定하였다. 특히 1, 4-PDI/BP2 Polymer는 이 混合溶液中에서는 熔解가 되지 않았으며 다른 Polymer는 $[\eta]$ 가 0.42부터 0.77까지 高分子量의 Polyurethane을 얻을 수 있었다.

Monomer BP_m(m=2.3.4.5.6.8.11)의 熱的性質 및 液晶性에 關한 研究는 이미 報告된 바 있다¹⁸⁾. 특히 monomer의 大部分이 Smetic相을 나타내었으며 偶奇效果를 調査한 結果 alkylene鎖가 偶數의 境遇가 熱的安定性이 있는 것이 確認되었다. 또한

Table 1. Polyaddition Reaction^{a)} of 1, 4-Phenylene diisocyanate(1, 4-PDI) with 4, 4'-Bis(ω -hydroxyalkoxy)biphenyls(BP_m)

Carbon number of alkylene chain m	1, 4-PDI g(mmol)	BP _m g(mmol)	Time h	Yield %	$[\eta]^{b)}$ dL/g
1,4-PDI/BP 2	0.512(3.20)	0.87(3.20)	20	90	insoluble
1,4-PDI/BP 3	0.598(3.74)	1.13(3.74)	20	94	0.50
1,4-PDI/BP 4	0.601(3.76)	1.24(3.76)	20	92	0.55
1,4-PDI/BP 5	0.603(3.77)	1.35(3.77)	20	96	0.42
1,4-PDI/BP 6	0.586(3.66)	1.42(3.66)	20	95	0.77
1,4-PDI/BP 8	0.607(3.79)	1.67(3.79)	24	96	0.58
1,4-PDI/BP 11	0.605(3.78)	1.99(3.78)	24	96	0.69

a) Solvent : DMF, 15ml

b) Intrinsic viscosity measured in dichloromethane-trifluoroacetic acid(4 : 1 v/v) solution at 30°C .

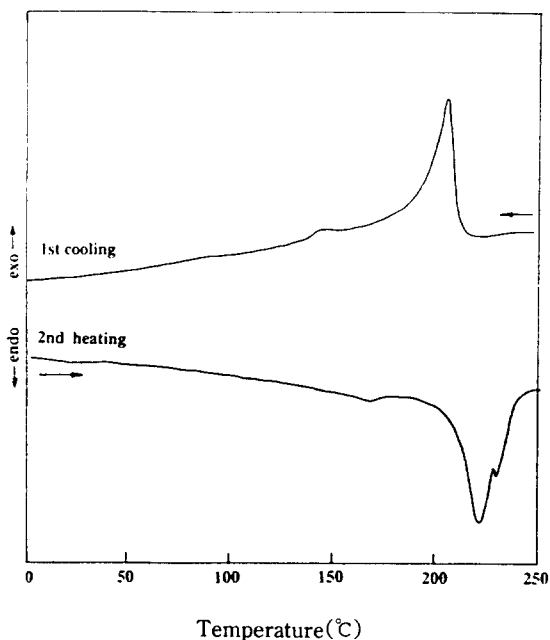


Fig. 3. DSC thermograms of 1,4-PDI/BP8 on the 1st cooling and 2nd heating (Rate : 20°C/min).

構造解析은 FT-IR 및 $^1\text{H-NMR}$ 에 의해 確認하였으며, 代表的인 例로 Fig. 1에 monomer(BP₁₁)의 $^1\text{H-NMR}$ 測定(DMSO-d₆, 80°C) Spectrum을 나타내었다. 그리고 Polyurethane 1, 4-PDI/BP₁₁의 $^1\text{H-NMR}$ (DMSO-D₆, 130°C) Spectrum을 Fig. 2에 나타내었다. 1, 4-PDI/BP₁₁ Polymer에는 1.12~1.82 ppm에 中央部의 alkylene chain에 의한 multiple의吸收, 3.91~4.09ppm에 酸素原子에 隣接한 methylene spacer가 multiplet의吸收, 6.88ppm 및 7.42 ppm에 biphenyl基의吸收 7.31ppm에 benzene環의 singlet의 peak가 觀察되었다. 그리고 8.81ppm에 urethane基의 proton에 起因하는吸收가 singlet로서 確認되었으며, FT-IR spectrum에서는 3310 cm⁻¹에 N-H에 起因하는 強한吸收peak가 그리고 1713cm⁻¹에는 urethane結合의 C=O에 起因하는吸收 peak가 觀察되었다. 다른 Polymer에서도 $^1\text{H-NMR}$ 및 FT-IR에 의한構造를 確認할 수 있었다.

Fig. 3, 4에서는 Polyurethane 1, 4-PDI/BP₈ 및

Polyurethane 1, 4-PDI/BP₁₁의 1st cooling 및 2nd heating의 DSC chart의 結果를 나타내었다.

Polyurethane 1, 4-PDI/BP₈ Polymer에서는 降溫過程에서는 208°C에서 T_i로 보이는 sharp한 發熱peak와 147°C에서는 T_m으로 보이는 broad한 작은 發熱peak가 觀察되었다. 昇溫過程에서는 225°C에서 T_m으로 보이는 強한吸收 peak가 235°C에서는 T_i로 보이는 작은吸收peak 觀察되었다.

또한 Polyurethane 1, 4-PDI/BP₁₁에서의 DSC를測定한 結果에서도 降溫過程에서 190°C에서 sharp한 發熱peak가 149°C에서는 T_m에 該當하는 發熱peak가 觀察되었다. 昇溫過程에서는 177°C(T_m) 및 250°C(T_i)에 強한吸熱 peak가 보였다. 그러나 para型의 Polymer의 降溫過程에서는 뚜렷한 發熱peak가 보이지 않았다. Table 2에서는 benzene環에 methyl置換基를 가지고 있지 않는 polyurethane 1, 4-PDI/BP_m의 热的性質의 結果를 나타내었다. 여기에서 나타난 T_m 및 T_i, ΔH_m, ΔH_i은 앞에서 報告한 2, 5-TDI/BP_m Polymer의 热的性質과同一한

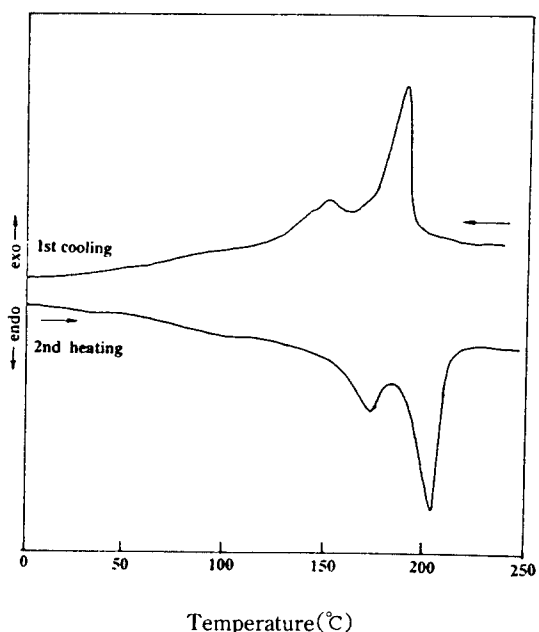


Fig. 4. DSC thermograms of 1,4-PDI/BP11 on the 1st cooling and 2nd heating (Rate : 20°C/min).

條件下에서 测定하였다¹⁹⁾. 热的性質을 比較한 結果 methyl의 置換基를 가진 Polymer 2, 5-TDI/BP_m 보다 methyl치환기를 가지고 있지 않은 Polymer 쪽이 T_m 및 T_i의 相轉移가 极히 높은 温度에서 일어나는 것을 알 수 있었다. 이것은 置換基에 의한 立體障害가 없어지므로 構造的으로 對稱性에 가까워진 結果에 起因한다고 思料된다. 그리고 alkylene spacer의 增加로 인하여 热的性質에는 어떠한 影響을 미치는가를 檢討한 結果를 Fig. 5에 나타내었다. 1, 4PDI-BP_m의 Polymer에서도 2, 5 -TDI/BP_m Polymer와 같이 alkylene spacer의 增加에 의한 T_i 및 T_m은 同時에 減少되는 것이 觀察되었고, 이것은 alkylene spacer가 矮아지면서 柔軟性의 缺乏現狀에 起因한다고 思料된다. 또한 methy置換基를 가진 2, 5-PDI/BP_m Polymer와 比較하면 T_i 및 T_m은 매우 높은 温度에서 일어나는 것을 알 수 있었다. 이러한 원인은 methy置換基를 가지고 있지 않는 1, 4-PDI/BP_m Polymer의 對稱性 構造에 기인한다고 思料된다. 또한 1, 4PDI/BP_m Polymer의 液晶狀態는 1°C에서 28°C까지 比較的 좁은 温度範圍에서 液晶性이 發見되었다. 이러한 理由로서는

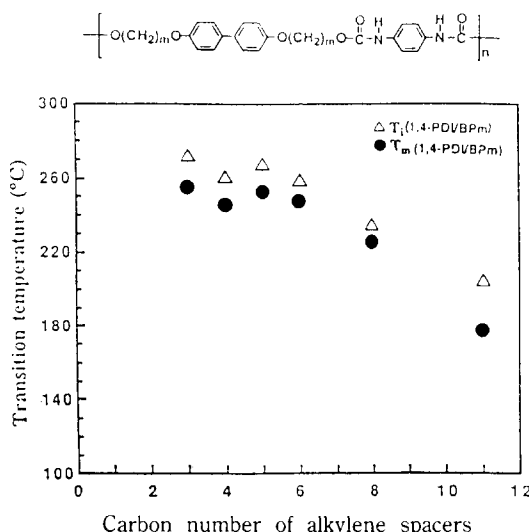


Fig. 5. The dependence of the temperature of melting(T_m) and isotropization(T_i) on the alkylene chain length.

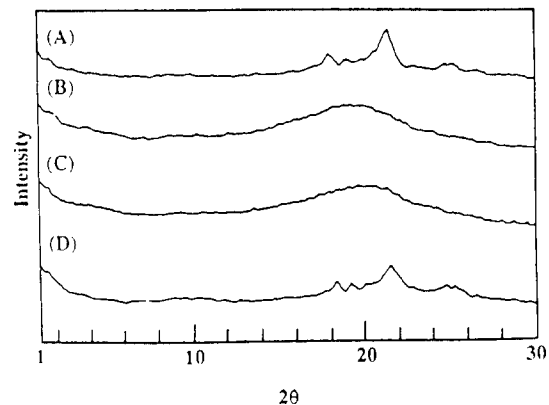


Fig. 6. X-ray diffractograms of polyurethane 1,4-PDI/BP11 : (A) at 30°C on cooling ; (B) at 180°C on heating(C) at 190°C on heating(D) at 100°C on cooling.

Polymer의 benzene基와 Spacer가 겹쳐서 立體的障碍로 인하여 同一平面構造를 形成할 수 없으므로 이러한 構造의問題로 인하여 不安한 Conformation이 생겨서 分子鏈의 热的安定性이 低下된다고 思料된다.

Fig. 6에 Polyurethane 1, 4-PDI/BP₁₁의 X-線回折測定을 昇溫過程 및 降溫過程의 여러 温度에서 测定하였다. 이러한 結果 昇溫過程(180°C 및 190°C)에서는 液晶狀態에 있어서 特微의 X-線回折을 나타내었다(Figure 6B, 6C). 그리고 4.42%의 廣角域에 nematic相에서 特微의 broad한 散亂peak가 나타났다. 이러한 것은 偏光顯微鏡의 觀察의 結果에서도 nematic相 液晶性임을 確認할 수 있었다. 또한 Fig. 6A 및 6D는 降溫過程(30°C) 및 昇溫過程(100°C) 結晶性領域의 X-線回折을 觀察할 수 있었다. 이러한 것은 4.18%, 4.20%, 3.61%에 結晶性領域에 該當하는 sharp한 peak가 나타났다. 이러한 事實은 對稱性 polyurethane의 遇配向性이 뛰어난 結晶性 Polymer임을 알 수가 있었다.

Polyurethane 1, 4-PDI/BP₁₁의 降溫過程에서의 偏光顯微鏡寫眞을 Fig. 7에 나타내었다. 이러한

Table 2. Thermal Properties^{a)} of 1, 4-PDI/BP_m Polyurethanes

Polymer	T _m °C	T _i °C	T _i -T _m deg	ΔH _m J/g	ΔH _i J/g
1,4-PDI/BP 2	— ^{b)}	—	—	—	—
1,4-PDI/BP 3	255	272	17	21.6	13.8
1,4-PDI/BP 4	245	261	16	32.4	7.1
1,4-PDI/BP 5	252	268	16	10.4	37.7
1,4-PDI/BP 6	247	259	11	17.3	41.4
1,4-PDI/BP 8	225	235	10	26.1	18.8
1,4-PDI/BP 11	177	205	28	12.9	45.0

a) Transition temperatures were determined by DSC measurements with a heating rate of 20°C/min.

b) Decomposition occurs at approximately 340°C before melting.

Texture는 X-線回折의 測定과 偏光顯微鏡 觀察時一般的인 液晶性의 性質과의 次異點은 Texture을 관찰할 때 특히 curve glass 사이의 polymer가 잘配向되도록 curve glass를 약간 눌러 配向하여 觀察하지 않으면 液晶狀態를 觀察하기가 힘들었다. 특히 이때 methyl 置換基를 가진 polymer보다는 빠른 結晶성을 나타내었다. 이러한 原因은 Polymer의 構造가 對稱性을 가지므로 热的性質이 不安全하기 때문이라고 思料되어진다.

Fig. 8은 polyurethane 1, 4-PDI/BP₈의 水素結合에 의한 相互作用이 어느 정도 mesophase에 影響을 미치는가에 대해서 溫度可變 FT-IR에 의해 調査한 結果를 나타내고 있다. 特히 昇溫過程에서

溫度變化가 热的性質과 分子間相互作用, 그리고 水素結合이 液晶性에 어느 程度 關與하는가에 대해서 檢討하였다. polyurethane 1, 4-PDI/BP₈의

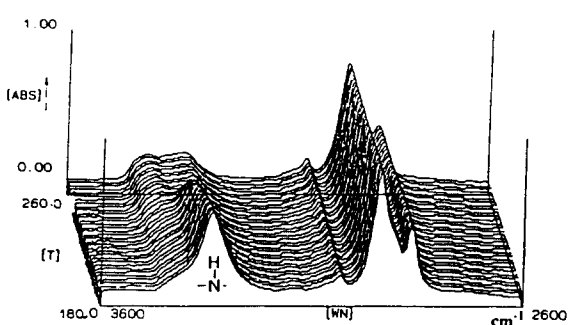


Fig. 7. Optical microscopy photographs of 1,4-PDI/BP11 at 185°C on cooling.

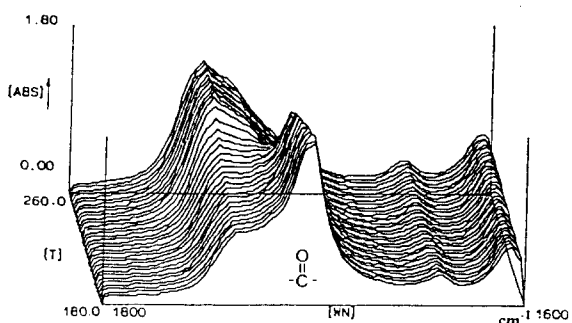


Fig. 8. Infrared spectra of polyurethane 1,4-PDI/BP8 in the range 1600–3600 cm⁻¹ from 180 to 260°C.

溫度可變 FT-IR을 180°C에서 260°C까지 溫度變化에 의해서 測定한 結果 3600~2600cm⁻¹에서의 NH의 伸縮振動 및 1800~1600cm⁻¹에서의 C=O의 伸縮振動의 變化가 觀察되었다. 여기에서는 polymer의 C=O와 같이 NH振動은 溫度가 180°C에서 260°C까지 增加함에 따라서 서서히 높은 振動數로 移動하였으며, 液晶相의 溫度부근에서는 急激한 振動數의 變化를 보였다. 이러한 것은 水素結合이 polymer의 mesophase의 發見에 重要한 역할을 하였다고 思料되어진다.

最近 Macknight의 研究에서도 이와 비슷한 결과를 얻었다는 報告가 있다¹²⁾. 다음으로 polyurethane 1, 4-PDI/BP_m Polymer의 热重量測定(TG)를 5%, 10%, 20%, 50%의 減量溫度를 求하였다. 1, 4-PDI/BP_m Polymer 경우 330±10°C의 溫度範圍에서 热分解가 일어났다. Kricheldorf는 4, 4'-dihydroxybiphenyl과 4, 4'-bis(ω-bipiperidine)alkane의 重合에서 얻어진 液晶 polyurethane의 置換基가 構造에 어떠한 影響을 미치는가에 대해서 調查하였다²³⁾. Methyl 또는 phenylene置換基를 가진 Polymer가 置換基를 가지지 않는 Polymer보다 热安定이 높다는 報告가 있었다²³⁾. 이러한 結果는 polymer의 構造의in 影響에 起因한다고 볼 수 있다. 그러나 本實驗結果와는 正反對의 現狀이 일어났다. 예를들면 置換基를 가지고 있지 않는 1, 4-PDI/BP₁₁ Polymer와 methyl置換基를 가진 2, 5-TDI/BP₁₁ Polymer의 TG測定의 結果는 2, 5-TDI/BP₁₁ Polymer보다 약 80°C의 热安定性이 있는 것을 確認할 수 있었다. 이러한 원인은 polyurethane에 隣接해 있는 benzene環의 methyl基가 構造的으로 热安定性에 크게 影響을 끼친다고 推定된다.

4. 結論

Methyl置換基를 가지고 있지 않는 para型의 polyurethane 1, 4-PDI/BP_m의 热的性質 및 物性에 대해서 檢討한 結果 前報에 報告한 methyl親患基를 가진 polyurethane(2, 5-TDI/BP_m)의 热的性質에 있어서는 약간의 差異를 보였다. 이러한 것은 methyl置換基가 polymer의 構造的變化에 起因한다는

것을 알 수 있었다. 對稱性 Polymer 1, 4-PDI/BP_m의 경우 非對稱인 2, 5-TDI/BP_m의 Polymer보다 높은 溫度에서 安定된 热的性質을 나타내었다. 즉 polymer의 構造가 立體的 障碍에 의해 热的性質 및 物性에 대해서 상당한 影響을 미치는 것을 알 수 있었다.

또한 偏光顯微鏡의 考察에서도 2, 5-TDI/BP_m Polymer와 同…하게 Curve glass에다 약간의 힘을 가해서 配向시킨 狀態에서 觀察하였을 때 만이 相組織이 잘 나타난다는 사실을 알 수 있었다. 또한 對稱性 polyurethane 1, 4-PDI/BP_m에 있어서는 結晶性이 좋은 Polymer가 生成되는 것이 確認되었다. 그리고 廣角 X-線의 測定結果에서도 이와 비슷한 結果를 얻을 수 있었다.

또한 Polymer가 水素結合에 의한 相互作用이 어느 정도 mesophase에 影響을 끼치는가에 대한 溫度可變 FT-IR測定에서, 溫度變化에 따라 NH(3600~2600cm⁻¹) 및 C=O(1800~1600cm⁻¹)의 伸縮振動이 서서히 높은 振動數로 移動하여 液正狀態에서는 急激한 振動數의 變化를 가져왔다. 즉 溫度變化에 있어서 mesogen은 分子相互作用에 의해 配向하는 方向이 制限된다는 것도 알 수 있었다.

이러한 原因으로서 Polymer의 热的安定性은 非對稱性보다 對稱性의 Polymer가 耐熱性을 가진 Polymer임을 알 수 있었으며, 또한 1, 4-PDI/BP_m型의 液正 polyurethane은 耐熱性을 가지는 새로운 形態의 para型 液晶 Polymer로서 期待된다.

參 考 文 獻

1. 清水徹, 神谷武著, “液晶ポリマ-新時代”, 工業調査会(1991).
2. K. Okano and S. Kobayashi, Eds. “Ekisho(Liquid Crystals)”, Baifukan, Tokyo(1985).
3. A. Blumstein, “Liquid Crystalline Order in Polymers”, p. 150 Academic Press, New York (1978).
4. G. W. Gray, “Molecular Structure and Properties of Liquid Crystals Acadimec”, New York(1962).

5. T. Uryu and J. C. Song, *Polym. J.*, **21**, 977 (1989).
6. T. Uryu and J. C. Song, T. Kato, *Polym. J.*, **21**, 409(1989).
7. W. Mormann and M. Brahm, *Macromolecules*, **24**, 1096(1991).
8. W. Mormann and M. Brahm, *Macromolecules*, **24**, 1096(1991).
9. W. Mormann and M. Brahm, *Makromol. Chem. Phys.*, **196**, 529(1995).
10. W. J. MacKnight and F. Papadimitrakopoulos, *Makromol. Chem., Macromol. Symp.*, **69**, 41 (1993).
11. P. J. Stenhouse, E. M. Valles, S. W. Kantor, and W. J. MacKnight, *Macromolecules*, **22**, 1467(1989).
12. S. K. Pollack, D. Y. Shen, S. L. Hsu, Q. Wang, and H. D. Stidham, *Macromolecules*, **22**, 551 (1989).
13. G. Smyth, E. M. Vallés, S. K. Pollack, J. Grebowicz, P. J. Stenhouse, S. L. Hsu, and W. J. MacKnight, *Macromolecules*, **23**, 3389(1990).
14. S. K. Pollack, G. Smyth, F. Papadimitrakopoulos, P. J. Stenhouse, S. L. Hsu, and W. J. MacKnight, *Macromolecules*, **25**, 2381(1992).
15. F. Papadimitrakopoulos, S. L. Hsu, and W. J. MacKnight, *Macromolecules*, **25**, 4671(1992).
16. W. Tang, R. J. Farris, and W. J. MacKnight, *Macromolecules*, **27**, 2814(1994).
17. F. Papadimitrakopoulos, E. Sawa, and W. J. MacKnight, *Macromolecules*, **25**, 4682(1992).
18. M. Ando and T. Uryu, *J. of Polym. Sci. : Polym. Chem. Ed.*, **28**, 2575(1990).
19. J. B. Lee, and J. C. Song, *J. of Kor. Soc. of Dyers and Finishers*, in press.
20. J. B. Lee, T. Kato, T. Yoshida, and T. Uryu, *Macromolecules*, **26**, 4989(1993).
21. J. B. Lee, T. Katom S. Ujiie, K. Iimura and T. Uryu, *Macromolecules*, **28**, 2165(1995).
22. J. B. Lee, T. Kato, and T. Uryu, *Polym. J.*, **27**, 664(1995).
23. H. R. Kricheldorf, and J. Awe, *Makromol. Chem.* **190**, 2597(1989).